

УДК 550.93(571.62)

О ВОЗРАСТЕ ДУНИТОВ КОНДЁРСКОГО МАССИВА (АЛДАНСКАЯ ПРОВИНЦИЯ, РОССИЯ): ПЕРВЫЕ U–Pb-ИЗОТОПНЫЕ ДАННЫЕ

© 2012 г. К. Н. Малич, А. А. Ефимов, И. Ю. Баданина

Представлено академиком В.А. Коротеевым 24.02.2012 г.

Поступило 01.03.2012 г.

Кондёрский массив и связанное с ним россыпное месторождение платины является предметом пристального внимания исследователей, начиная с середины 50-х годов XX в. [2, 4, 6, 10, 12 и др.]. Правильное концентрически-зональное строение Кондёрского массива, а также геологические взаимоотношения пород позволяют рассматривать его как эталонный среди подобных ему массивов Алданской провинции в юго-восточной части Сибирской платформы. Массив представляет округлое в плане тело диаметром около 6 км (рис. 1); сложен дунитами, занимающими центральные части массива (до 70–75%), метадунистами, верлитами, клинопироксенитами и меланократовыми габброидами нормального ряда щелочности, образующими кольцевую зону по его периферии мощностью до 500 м. В юго-западной части дунитового “ядра” залегает серия субпараллельных жилоподобных тел пегматоидных, крупно-, средне- и мелкозернистых апатит-биотит-магнетитовых клинопироксенитов и мелко-, тонкозернистых магнетитовых клинопироксенитов [6]. Жильные образования в дунитах представлены альбит-эгириновыми сиенитами и другими щелочными породами.

Породы Кондёрского массива прорывают и контактово метаморфизуют архейские образования фундамента платформы и рифейские породы ее чехла, образуя с ними куполовидную структуру, сформированную при внедрении мантийного диапира преимущественно ультраосновного состава [3, 6, 12 и др.].

Значительный разброс возрастов, полученный K–Ar-методом для широкого спектра пород массива (70–650 млн лет, табл. 1 в работе [5]), предопределил дискуссию о возрасте дунитового ядра. Датирование ультраосновных пород массива Sm–Nd-методом [9] также не привело к желаемому результату, так как изотопные данные не согласуются с изохронной моделью.

В настоящем сообщении обсуждаются результаты уран-свинцового датирования 24 зерен циркона (26 определений) из дунитов Кондёрского массива. Изученная проба дунитов (№ обр. 67-12) массой 1.5 кг была нами взята в южной наименее эродированной части массива (рис. 1).

Цирконы выделены в Центральной лаборатории ВСЕГЕИ (Санкт-Петербург) с применением изодинамического магнитного сепаратора и тяжелых жидкостей и смонтированы в эпоксидной смоле вместе с зернами цирконовых стандартов TEMORA и 91500. После полировки цирконы были исследованы под микроскопом в проходящем и отраженном свете, на электронном микроанализаторе SamScan MX2500S, с использованием комбинации изображений в обратно-рассеянных электронах и



Рис. 1. Фотосхема эродированной куполовидной морфоструктуры, в центре которой расположен Кондёрский массив; в южной части массива указано место отбора пробы дунита (обр. 67-12) в пределах западного отрога г. Осьминог.

Таблица 1. U–Pb (SHRIMP-II)-изотопные анализы цирконов дунитов Кондёрского массива

№ п/п	Анализ	$^{206}\text{Pb}_c$, %	U, г/т	Th, г/т	$^{232}\text{Th}/^{238}\text{U}$	$^{206}\text{Pb}/^{238}\text{U}$ -возраст	\pm	Атомные отношения						
								$^{207}\text{Pb}^*/^{206}\text{Pb}^*$	\pm %	$^{207}\text{Pb}^*/^{235}\text{U}$	\pm %	$^{206}\text{Pb}^*/^{238}\text{U}$	\pm %	<i>Rho</i>
1	K14.1	0.14	118	2	0.02	2496.0	46.0	0.1640	1.0	10.6900	2.4	0.4730	2.2	0.910
2	K41.1	0.00	94	1	0.01	2419.0	45.0	0.1652	1.6	10.3700	2.7	0.4550	2.2	0.820
3	K45.1	0.05	98	1	0.02	2444.0	46.0	0.1555	1.6	9.8800	2.8	0.4610	2.2	0.812
4	K17.1	0.53	70	1	0.02	2444.0	47.0	0.1628	1.5	10.3500	2.8	0.4610	2.3	0.833
5	K29.1	0.16	103	2	0.02	2322.0	43.0	0.1623	1.0	9.7100	2.4	0.4337	2.2	0.907
6	K30.1	0.21	128	2	0.02	2348.0	43.0	0.1579	1.1	9.5600	2.4	0.4394	2.2	0.900
7	K59.1	0.13	110	3	0.02	2363.0	46.0	0.1585	1.2	9.6700	2.6	0.4430	2.3	0.885
8	K67.1	0.21	113	3	0.03	2389.0	44.0	0.1608	1.1	9.9500	2.5	0.4485	2.2	0.898
9	K14.2	0.15	474	128	0.28	1670.0	31.0	0.1457	0.7	5.9400	2.2	0.2958	2.1	0.957
10	K10.1	0.05	337	84	0.26	2015.0	36.0	0.1530	0.8	7.7400	2.2	0.3669	2.1	0.939
11	K36.1	0.47	93	2	0.02	1899.0	37.0	0.1145	2.0	5.4100	3.0	0.3425	2.3	0.751
12	K3.1	1.30	95	26	0.28	176.1	4.8	0.0444	16.0	0.1700	16.0	0.0277	2.7	0.173
13	K6.1	2.14	331	156	0.49	181.0	4.4	0.0503	16.0	0.1980	16.0	0.0285	2.4	0.150
14	K8.1	0.00	263	123	0.48	183.0	4.4	0.0579	8.9	0.2300	9.2	0.0288	2.5	0.268
15	K9.1	0.88	170	82	0.50	177.5	4.3	0.0534	9.2	0.2050	9.5	0.0279	2.5	0.259
16	K28.1	0.99	698	736	1.09	177.7	3.8	0.0448	7.8	0.1730	8.1	0.0280	2.2	0.269
17	K38.1	5.72	590	488	0.86	181.7	4.7	0.0430	29.0	0.1710	29.0	0.0286	2.6	0.090
18	K38.2	0.32	385	282	0.76	179.6	3.9	0.0502	6.1	0.1960	6.5	0.0283	2.2	0.342
19	K39.1	1.61	997	789	0.82	169.8	3.6	0.0449	10.0	0.1650	11.0	0.0267	2.2	0.207
20	K64.1	4.31	182	45	0.25	174.5	4.9	0.0610	22.0	0.2310	23.0	0.0274	2.9	0.126
21	K60.1	2.59	275	173	0.65	173.9	4.3	0.0397	23.0	0.1500	23.0	0.0274	2.5	0.108
22	K7.1	1.98	454	378	0.86	172.6	3.9	0.0507	12.0	0.1900	12.0	0.0271	2.3	0.186
23	K35.1	2.48	200	59	0.30	168.7	4.4	0.0458	20.0	0.1670	20.0	0.0265	2.6	0.128
24	K47.1	0.57	277	104	0.39	144.8	3.3	0.0494	9.1	0.1550	9.4	0.0227	2.3	0.249
25	K21.1	2.62	119	62	0.54	149.2	4.5	0.0600	23.0	0.1940	23.0	0.0234	3.0	0.134
26	K61.1	1.36	414	197	0.49	138.3	3.2	0.0481	11.0	0.1440	11.0	0.0217	2.3	0.207

Примечание. Pb_c и Pb^* – обыкновенный и радиогенный свинец соответственно. Погрешности единичных анализов (отношений и возрастов) приводятся на уровне $\pm 1\sigma$. Ошибка калибровки стандарта составила 0.71%. Возраст вычислен в координатах $^{207}\text{Pb}/^{235}\text{U}$ – $^{206}\text{Pb}/^{238}\text{U}$, погрешность с учетом погрешностей определения константы распада. *Rho* – коэффициент корреляции отношений $^{207}\text{Pb}/^{235}\text{U}$ – $^{206}\text{Pb}/^{238}\text{U}$.

катодоллюминесценции. U–Pb-анализы выполнены с помощью вторично-ионного масс-спектрометра SHRIMP-II в Центре изотопных исследований ВСЕГЕИ по методике, изложенной в работе [15].

Особенности внутреннего строения цирконов, U–Pb-изотопные результаты и характер распределения тория, урана и величины Th/U приведены на рис. 2–4 и в табл. 1.

Среди выделенных зерен цирконов доминируют прозрачные бесцветные индивиды с розовой или желтоватой окраской, реже непрозрачные

кристаллы с желтым оттенком. Изученная выборка цирконов характеризуется двумя морфологическими типами зерен, представленными: 1) индивидами овальной и округлой формы и 2) идеально ограниченными кристаллами или агрегатами кристаллов призматического габитуса. Длина крупных зерен составляет 140–200 мкм, мелких – 50–100 мкм, коэффициент удлинения варьируется от 1.2 до 3.0.

Цирконы типа I характеризуются “размытой” катодоллюминесценцией (рис. 2а–м; обр. 14, 41, 67, 59, 29, 36). Они часто состоят из темной пори-

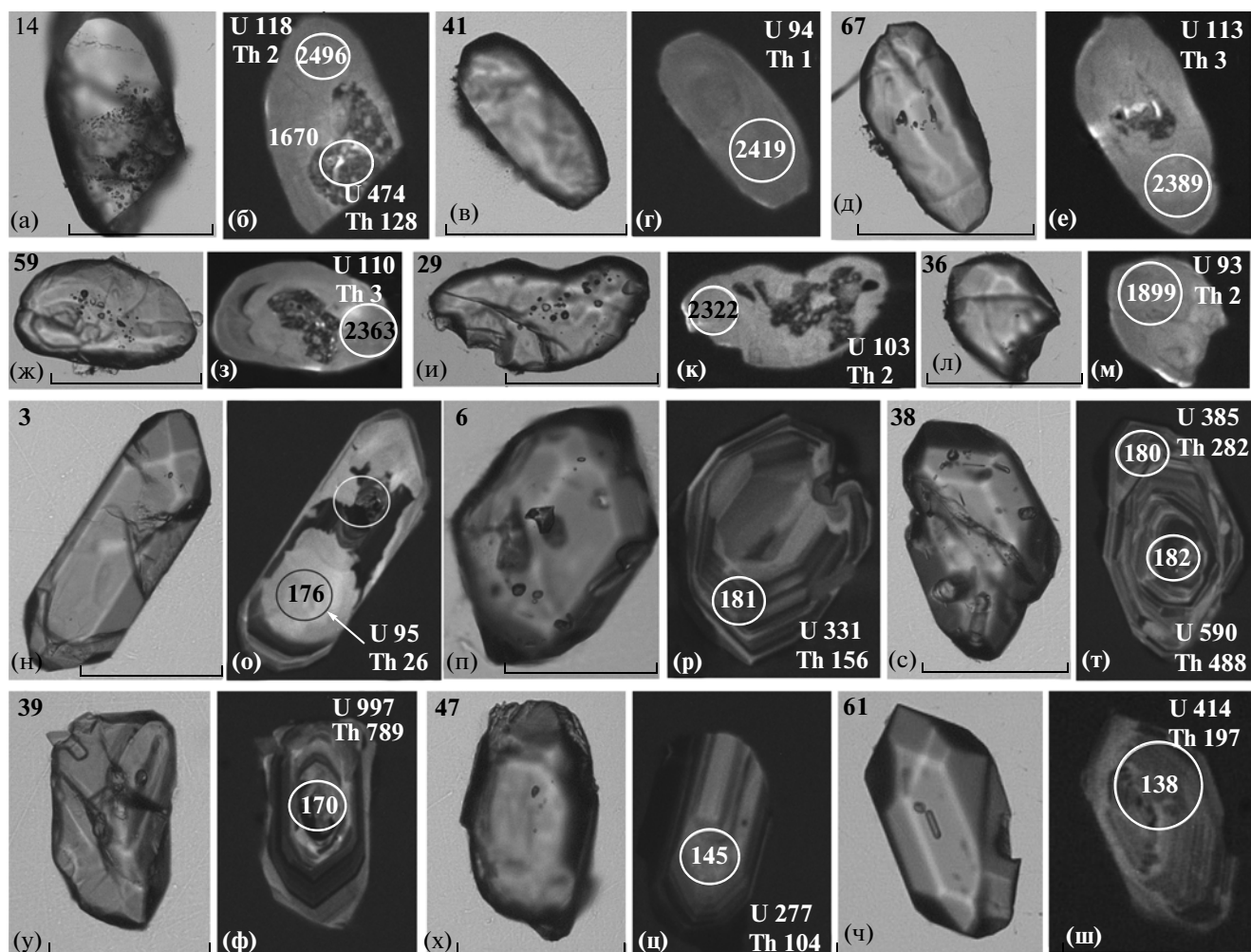


Рис. 2. Морфологические, вещественные и возрастные особенности цирконов, выделенных из дунитов (обр. 67–12) Кондёрского массива. Изображения в проходящем свете (а, в, д, ж, и, л, н, п, с, у, x, ч) и катодолюминесцентных лучах (б, г, е, з, к, м, о, р, т, ф, ц, ш). Места проведения U–Pb (SHRIMP)-анализов показаны кругами, в которых приведен изотопный возраст, в млн лет. Цифры у кристаллов соответствуют номерам анализов в табл. 1. Содержание Th и U приведено в г/т (ppm). Масштаб 100 мкм.

стой центральной части, представленной реликтом переработанного ядра, и более светлой однородной оболочкой, не претерпевшей изменений (рис. 2а, б, д–к; обр. 14, 67, 59, 29). Однородный (“дымчатый”) тип катодолюминесценции также характерен для неизмененных зерен (рис. 2в, г, л, м; обр. 41, 36). Для неизмененных частей цирконов типичны низкие концентрации Th, U и значение Th/U (1–3, 70–128, 0.01–0.03 соответственно, рис. 3, табл. 1, ан. 1–8). По данным параметрам изученные цирконы обладают особенностями, характерными для метаморфических цирконов [14 и др.]. Отличительной особенностью метамиктных (пористых ядерных частей) цирконов типа I являются (рис. 3, табл. 1, ан. 9, 10) более высокие содержания Th (128, 84 г/т), U (474, 337), а также Th/U (0.28, 0.26), что сближает их с цирконами магматического генезиса [11]. Для цирко-

нов типа II, представленных призматическими кристаллами (рис. 2 п–ш; обр. 6, 38, 39, 47, 61), характерны тонкозональная катодолюминесценция, более широкие вариации Th и U (26–789 и 95–997 г/т соответственно), что считается типичным для магматических цирконов [11]. Характерной особенностью данного типа цирконов является наличие в них “негативных” включений апатита и кварца.

Экспериментально полученные результаты демонстрируют наличие четырех возрастных кластеров (рис. 4). Два кластера древних возрастов характерны для овальных и округлых цирконов типа I. Наиболее представительный кластер (U–Pb-данные для 8 кристаллов из 9) образует тесное сообщество значений в верхней части дискордии (рис. 4а) с параметрами $T_0 = 2477 \pm 18$ и

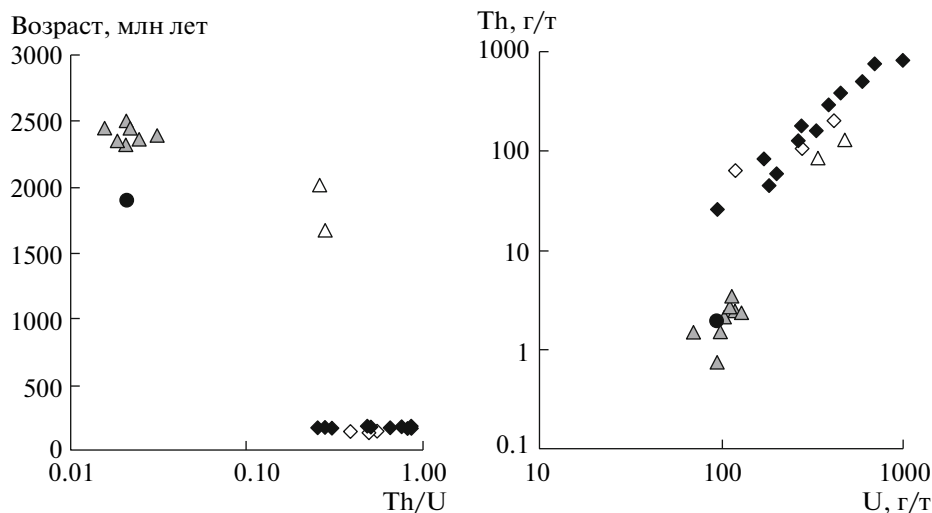


Рис. 3. Состав различных типов циркона дунитов Кондёрского массива в координатах: а – U–Pb-возраст–Th/U и б – Th–U. Символы: серые треугольники – неизменные цирконы возрастного кластера I; полые треугольники – измененные цирконы возрастного кластера I, черный кружок – циркон возрастного кластера II; черные ромбы – цирконы кластера III; полые ромбы – цирконы кластера IV.

$t = 640 \pm 97$ млн лет. Данная дискордия характеризует “метаморфические” (неизменные краевые) и метамиктные “магматические” (измененные ядерные) части зерен (рис. 2а–к; табл. 1, ан. 1–10). Конкордантный возраст, рассчитанный для неизменных частей цирконов из этого же кластера (рис. 2а–г, зерна 14, 17, 41, 45, рис. 4б), составляет $T_1 = 2473 \pm 21$ млн лет (среднеквадратичное отклонение (СКВО) = 1.6; вероятность соответствия (P) = 0.21), соответствующая времени регионального метаморфизма при тектонотермальной истории развития кристаллического фундамента платформы (около 2.5 млрд лет [1]). Второй возрастной кластер характеризуется единичным значением $T_2 = 1885 \pm 52$ млн лет, СКВО = 0.26; $P = 0.61$ (рис. 2л, м, обр. 36, рис. 4в). Сходные U–Pb-датировки получены для циркона дунитов уникального Гулинского массива на севере Сибирской платформы и Нижнетагильского массива на Среднем Урале [7, 13 и др.]. Такое сходство может быть обусловлено спецификой исходного мантийного субстрата и сходством процесса генерации дунита, механизм которого остается недостаточно ясным.

Третий и четвертый кластеры образованы идиоморфными цирконами типа II (рис. 2 н–ш) с конкордантными U–Pb-возрастами 176.0 ± 1.2 млн лет (СКВО = 0.20; $P = 0.65$; рис. 4г) и 143.0 ± 2.0 млн лет (СКВО = 0.03; $P = 0.86$; рис. 4г), соответственно. Данный временной интервал близок к таковому юрско-меловой (J_3 – K_1) тектоно-магматической активизации Алданского щита [4, 8 и др.]. Цирконы типа II могут быть связаны с образованием апатит-биотит-магнетитовых клинопироксенов в юго-западной части массива [2, 6 и др.].

Совокупность морфологических, геохимических и возрастных данных для цирконов дунитов позволяет сделать следующие выводы.

1. Цирконы типа I, представленные метамиктными “ядрами” и неизменными оторочками, свидетельствуют об их длительной эволюции. U–Pb-возраст метаморфического события на рубеже позднего архея и раннего протерозоя (около 2.5 млрд лет тому назад), фиксируемого по неизменным частям цирконов, свидетельствует в пользу более древнего возраста пористых “ядер” цирконов. Данные цирконы могут быть интерпретированы как реликтовые, отвечающие минимальному возрасту пород субстрата, или как близкие ко времени генерации платиноносного дунита в субконтинентальной мантии – исходной точке траектории мантийного диапира.

2. Цирконы типа II датируют ($^{206}\text{Pb}/^{238}\text{U}$ -возраст 143–176 млн лет) гораздо более позднее событие в истории формирования Кондёрского массива, которое можно соотносить с образованием апатит-биотит-магнетитовых клинопироксенов внутри дунитового “ядра” в эпоху тектоно-магматической активизации Алданского щита.

3. Новые геохронологические данные дополняют выявленную ранее вещественную идентичность платиноносных дунитов Урала и Алданской провинции [3] и поддерживают идею о генетическом единстве платиноносных дунитов складчатых областей и древних платформ.

Авторы выражают благодарность Е.Д. Милославской, Л.П. Федоровой за неоценимую помощь при обработке пробы дунитов и выделении цирконов. Мы признательны Н.Г. Бережной, А.А. Анто-

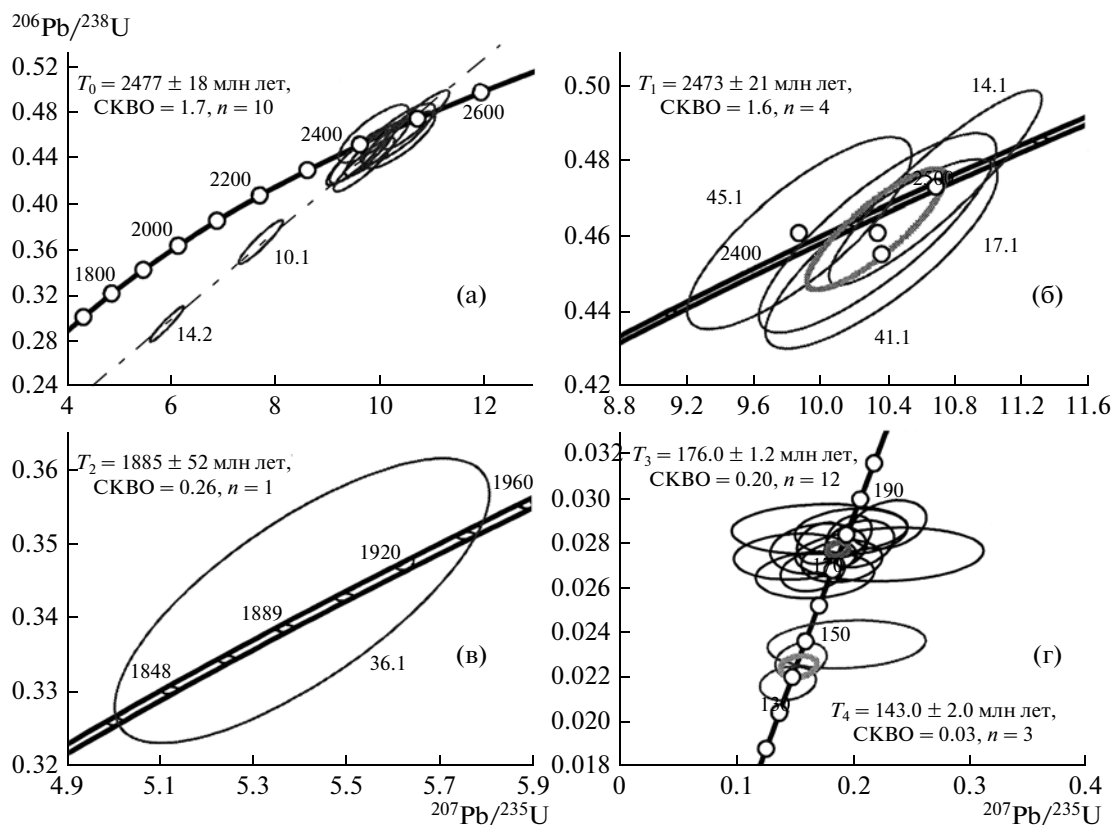


Рис. 4. Уран-свинцовый возраст различных морфологических типов циркона из дунитов Кондёрского массива. Аппроксимация всей совокупности аналитического материала для древних цирконов определяет дискордию, верхнее и нижнее пересечение которой с конкордией дает возрасты 2477 ± 18 и 640 ± 97 млн лет, характеризующаяся значением СКВО = 1.7.

нову и С.Л. Преснякову за содействие при подготовительных и аналитических работах.

Исследование выполнено при поддержке Министерства образования и науки России (Гос. контракт 02.740.11.0726) и программы Президиума РАН № 27 (проект 12–П–5–2015 УрО РАН).

СПИСОК ЛИТЕРАТУРЫ

1. Геологическое строение СССР и закономерности развития полезных ископаемых. Т. 4. Сибирская платформа / Под ред. Н.С. Малича, В.Л. Масайтиса, В.С. Суркова. Л.: Недра, 1987. 448 с.
2. Гурович В.Г., Землянухин В.Н., Емельяненко Е.П. и др. Геология, петрология и рудоносность Кондёрского массива. М.: Наука, 1994. 170 с.
3. Ефимов А.А., Таврин И.Ф. // ДАН. 1978. Т. 243. № 4. С. 991–994.
4. Ельянов А.А., Моралев В.М. // ДАН. 1961. Т. 141. № 3. С. 687–689.
5. Каретников К.С. // Тихоокеан. геология. 2005. Т. 24. № 4. С. 76–83.
6. Малич К.Н. Платиноиды клинопироксенит-дунитовых массивов Восточной Сибири (геохимия, минералогия, генезис). СПб.: СПб. картограф. фабрика ВСЕГЕИ, 1999. 296 с.
7. Малич К.Н., Ефимов А.А., Ронкин Ю.Л. // ДАН. 2009. Т. 427. № 1. С. 101–105.
8. Орлова М.П., Авдеева О.И., Федорова И.В., Яковлева Л.В. // ДАН. 1978. Т. 240. № 3. С. 677–680.
9. Пушкарев Ю.Д., Костянов А.И., Орлова М.П., Богомоллов Е.С. // Регион. геология и металлогения. 2002. № 16. С. 80–91.
10. Рожков И.С., Кицул В.И., Разин Л.В., Боршанская С.С. Платина Алданского щита. М.: Изд-во АН СССР, 1962. 119 с.
11. Belousova E.A., Griffin W.L., O'Reilly S.Y., Fisher N.I. // Contribs Mineral. and Petrol. 2002. V. 143. P. 602–622.
12. Burg J.P., Bodinier J.-L., Gerya N., et al. // J. Petrol. 2009. V. 50. № 2. P. 289–321.
13. Malitch K.N., Badanina I.Yu., Efimov A.A., Ronkin Yu.L. In: Giant Ore Deposits Down-Under. Proc. XIII Quadrennial IAGOD Symp. Government South Australia. Adelaide: Univ. Adelaide. 2011. P. 232–233.
14. Rubatto D. // Chem. Geol. 2002. V. 184. P. 123–138.
15. Williams I.S. // Revs Econ. Geol. 1998. V. 7. P. 1–35.